

Technische Information / Technical Information

eupc

Netz-Thyristor
Phase Control Thyristor

T 1509 N 12 ...18

N 

Elektrische Eigenschaften / Electrical properties

Höchstzulässige Werte / Maximum rated values

Periodische Vorwärts- und Rückwärts-Spitzenperrspannung repetitive peak forward and reverse voltages	$T_{vj} = -40^\circ\text{C} \dots T_{vj\ max}$	V_{DRM}, V_{RRM}	1200 1600	1400 1800	V V
Vorwärts-Stoßspitzenperrspannung non-repetitive peak forward off-state voltage	$T_{vj} = -40^\circ\text{C} \dots T_{vj\ max}$	V_{DSM}	1200 1600	1400 1800	V V
Rückwärts-Stoßspitzenperrspannung non-repetitive peak reverse voltage	$T_{vj} = +25^\circ\text{C} \dots T_{vj\ max}$	V_{RSM}	1300 1700	1500 1900	V V
Durchlaßstrom-Grenzeffektivwert RMSM on-state current		I_{TRSMSM}		3900	A
Dauergrenzstrom average on-state current	$T_C = 85^\circ\text{C}$ $T_C = 54^\circ\text{C}$	I_{TAVM}		1500 2230	A A
Stoßstrom-Grenzwert surge current	$T_{vj} = 25^\circ\text{C}, t_p = 10\text{ ms}$ $T_{vj} = T_{vj\ max}, t_p = 10\text{ ms}$	I_{TSM}		39000 33500	A ¹⁾ A
Grenzlastintegral I^2t -value	$T_{vj} = 25^\circ\text{C}, t_p = 10\text{ ms}$ $T_{vj} = T_{vj\ max}, t_p = 10\text{ ms}$	I^2t		7605 5611	$\text{A}^2\text{s} * 10^3$ $\text{A}^2\text{s} * 10^3$
Kritische Stromsteilheit critical rate of rise of on-state current	DIN IEC 747-6 f=50 Hz, $v_L = 10\text{V}$, $i_{GM} = 1\text{ A}$ $di_G/dt = 1\text{ A}/\mu\text{s}$	$(di_T/dt)_{cr}$		200	$\text{A}/\mu\text{s}$
Kritische Spannungssteilheit critical rate of rise of off-state voltage	$T_{vj} = T_{vj\ max}, V_D = 0,67 V_{DRM}$ 5.Kennbuchstabe / 5th letter C 5.Kennbuchstabe / 5th letter F	$(dv_D/dt)_{cr}$		500 1000	$\text{V}/\mu\text{s}$ $\text{V}/\mu\text{s}$

Charakteristische Werte / Characteristic values

Durchlaßspannung on-state voltage	$T_{vj} = T_{vj\ max}, i_T = 7000\text{ A}$	V_T	max.	2,1	V
Schleusenspannung threshold voltage	$T_{vj} = T_{vj\ max}$	$V_{T(TO)}$		0,9	V
Ersatzwiderstand slope resistance	$T_{vj} = T_{vj\ max}$	r_T		0,15	$\text{m}\Omega$
Durchlaßkennlinie on-state voltage $v_T = A + B \times i_T + C \times \ln(i_T + 1) + D \times \sqrt{i_T}$	$T_{vj} = T_{vj\ max}$	A=0,30271 B=1,696E-04 C=9,303E-02 D=-2,552E-03			
Zündstrom gate trigger current	$T_{vj} = 25^\circ\text{C}, v_D = 6\text{ V}$	I_{GT}	max.	250	mA
Zündspannung gate trigger voltage	$T_{vj} = 25^\circ\text{C}, v_D = 6\text{ V}$	V_{GT}	max.	2	V
Nicht zündener Steuerstrom gate non-trigger current	$T_{vj} = T_{vj\ max}, v_D = 6\text{ V}$ $T_{vj} = T_{vj\ max}, V_D = 0,5 V_{DRM}$	I_{GD}	max. max.	20 10	mA mA
Nicht zündene Steuerspannung gate non-trigger voltage	$T_{vj} = T_{vj\ max}, V_D = 0,5 V_{DRM}$	V_{GD}	max.	0,2	mV
Haltestrom holding current	$T_{vj} = 25^\circ\text{C}, v_D = 6\text{ V}, R_A = 2\Omega$	I_H	max.	500	mA
Einraststrom latching current	$T_{vj} = 25^\circ\text{C}, v_D = 6\text{ V}, R_{GK} \geq 10\Omega$ $i_{GM} = 1\text{ A}, di_G/dt = 1\text{ A}/\mu\text{s}$ $t_g = 20\text{ }\mu\text{s}$	I_L	max.	2500	mA
Vorwärts- und Rückwärts-Sperrstrom forward off-state and reverse currents	$T_{vj} = T_{vj\ max}$ $V_D = V_{DRM}, V_R = V_{RRM}$	i_D, i_R	max.	150	mA
Zündverzug gate controlled delay time	DIN IEC 747-6 $T_{vj} = 25^\circ\text{C}$ $i_{GM} = 1\text{ A}, di_G/dt = 1\text{ A}/\mu\text{s}$	t_{gd}	max.	4	μs

1) Gehäusegrenzstrom 32 kA (50Hz Sinushalbwelle). / Current limit of case 32kA (50Hz sinusoidal half-wave).

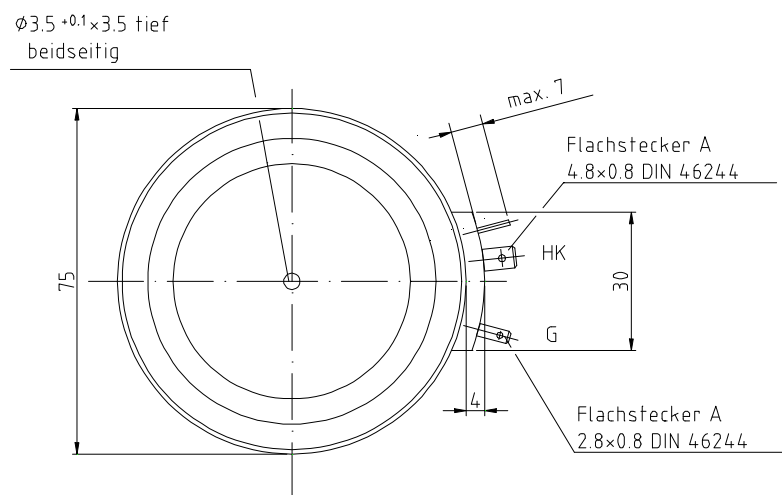
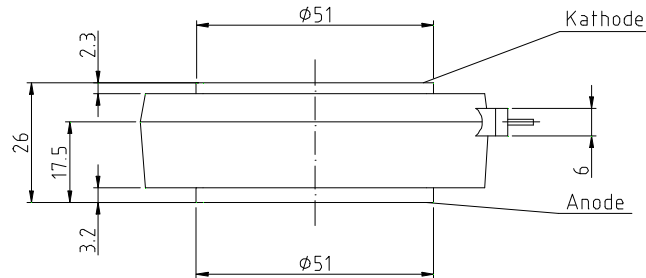
Technische Information / Technical Information

Netz-Thyristor
Phase Control Thyristor

T 1509 N 12 ...18

eupc

N 



T 1509 N

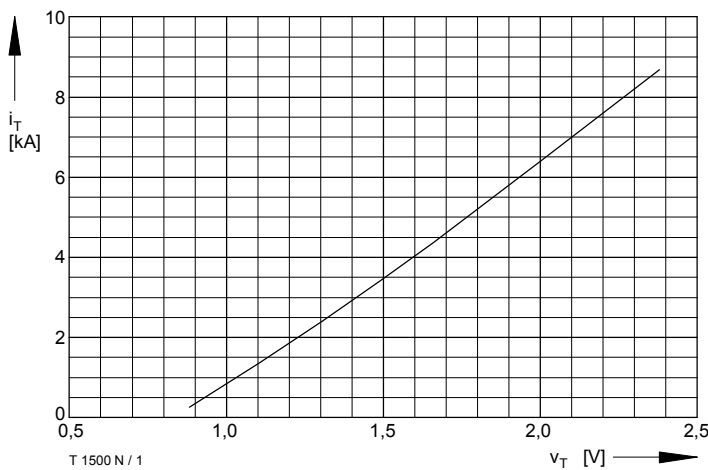


Bild / Fig. 1
Grenzdurchlaßkennlinie / Limiting on-state characteristic
 $i_T = f(v_T)$, $t_{vj} = t_{vj \max}$

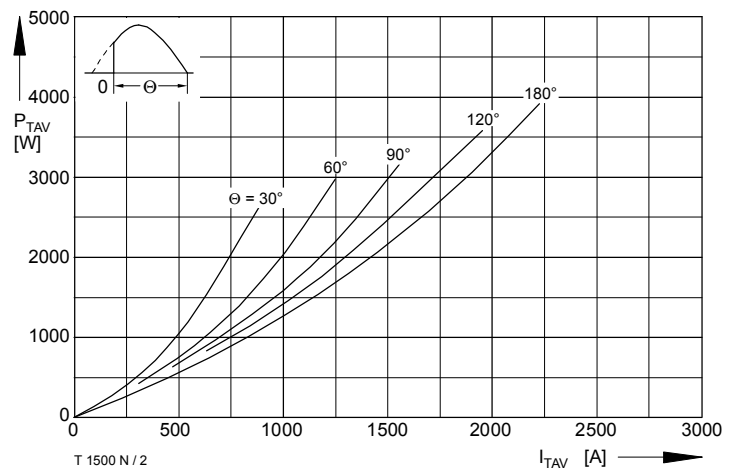


Bild / Fig. 2
Durchlaßverlustleistung / On-state power loss $P_{TAV} = f(I_{TAVM})$
Parameter: Stromflußwinkel / Current conduction angle θ

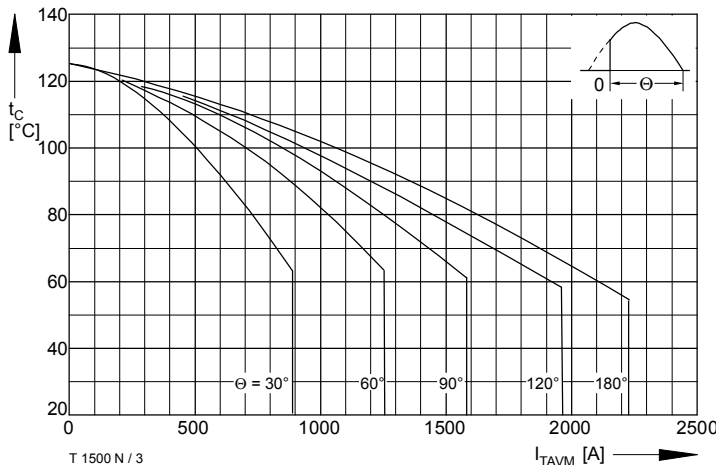


Bild / Fig. 3
Höchstzulässige Gehäusetemperatur / Max. allowable case temperature
 $t_C = f(I_{TAVM})$
Beidseitige Kühlung / Two-sided cooling
Parameter: Stromflußwinkel / Current conduction angle θ

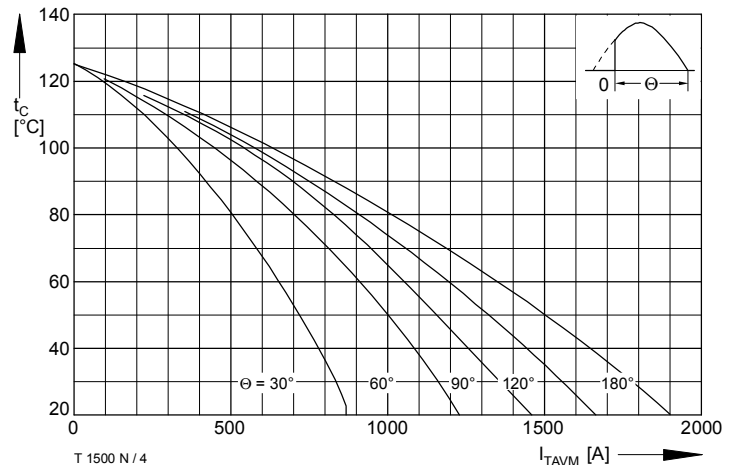


Bild / Fig. 4
Höchstzulässige Gehäusetemperatur / Max. allowable case temperature
 $t_C = f(I_{TAVM})$
Anodenseitige Kühlung / Anode-sided cooling
Parameter: Stromflußwinkel / Current conduction angle θ

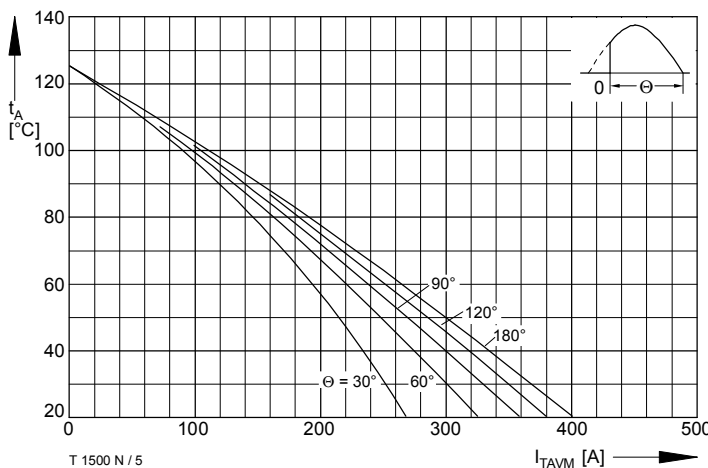


Bild / Fig. 5
Höchstzulässige Kühlmitteltemperatur / Max. allowable cooling medium temperature $t_A = f(I_{TAVM})$
Luftselbstkühlung / Natural air-cooling
Kühlkörper / Heatsink: K0.05F
Parameter: Stromflußwinkel / Current conduction angle θ

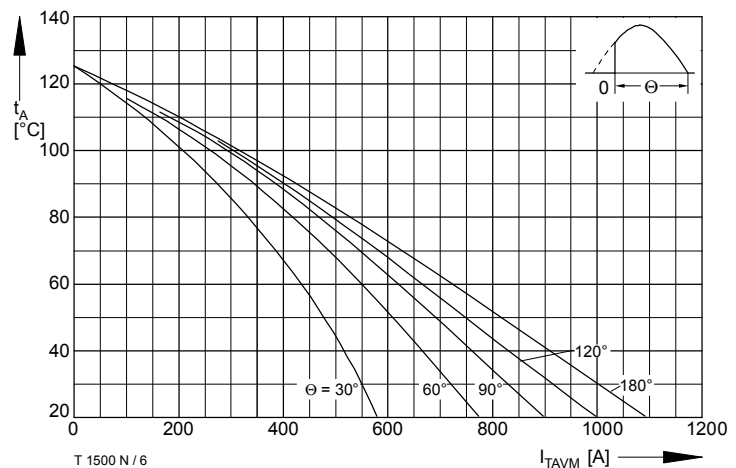


Bild / Fig. 6
Höchstzulässige Kühlmitteltemperatur / Max. allowable cooling medium temperature $t_A = f(I_{TAVM})$
Verstärkte Luftkühlung / Forced air cooling
Kühlkörper / Heatsink: K0.05F, $V_L = 120$ l/s
Parameter: Stromflußwinkel / Current conduction angle θ

T 1509 N

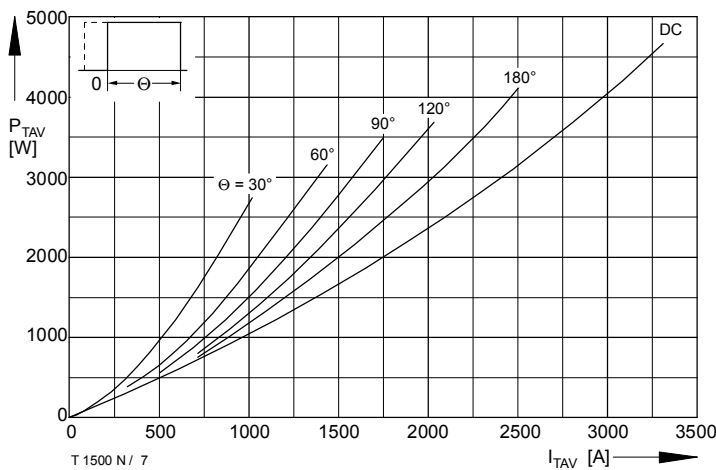


Bild / Fig. 7

Durchlaßverlustleistung / On-state power loss $P_{TAV} = f(I_{TAV})$
Parameter: Stromflußwinkel / Current conduction angle θ

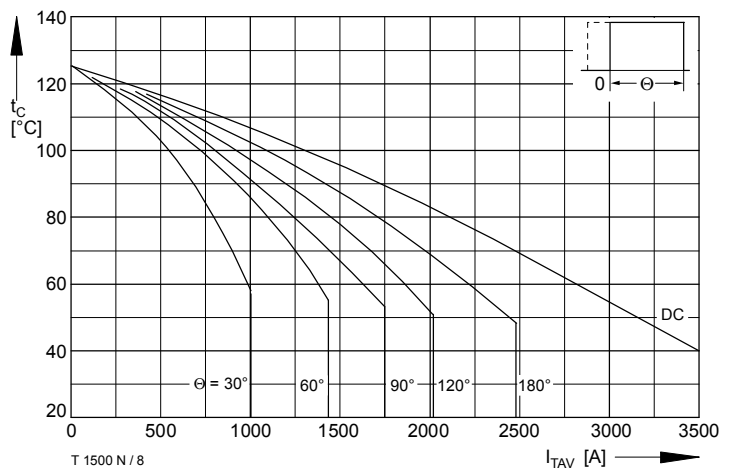


Bild / Fig. 8

Höchstzulässige Gehäusetemperatur / Max. allowable case temperature
 $t_C = f(I_{TAVM})$
Beidseitige Kühlung / Two-sided cooling
Parameter: Stromflußwinkel / Current conduction angle θ

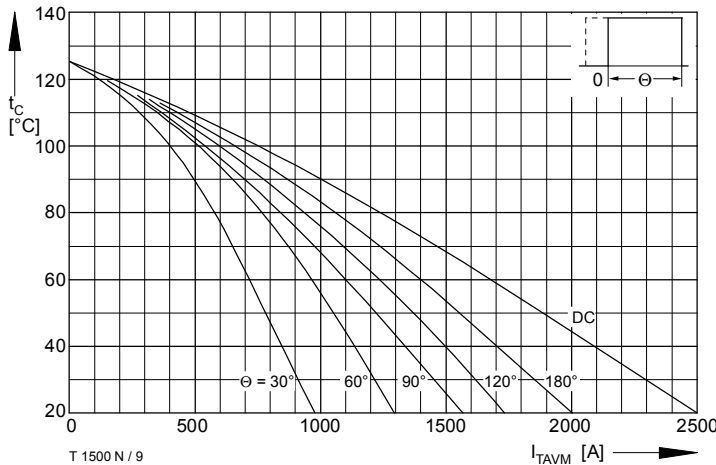


Bild / Fig. 9

Höchstzulässige Gehäusetemperatur / Max. allowable case temperature
 $t_C = f(I_{TAVM})$
Anodenseitige Kühlung / Anode-sided cooling
Parameter: Stromflußwinkel / Current conduction angle θ

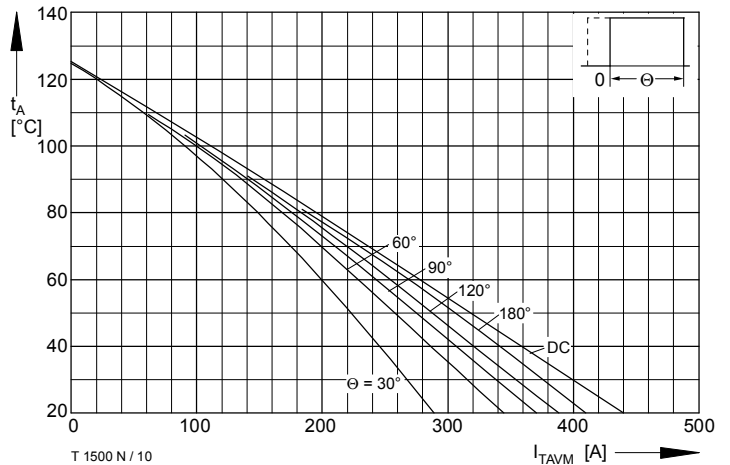


Bild / Fig. 10

Höchstzulässige Kühlmitteltemperatur / Max. allowable cooling medium temperature $t_A = f(I_{TAVM})$
Luftselbstkühlung / Natural air-cooling
Kühlkörper / Heatsink: K0.05F
Parameter: Stromflußwinkel / Current conduction angle θ

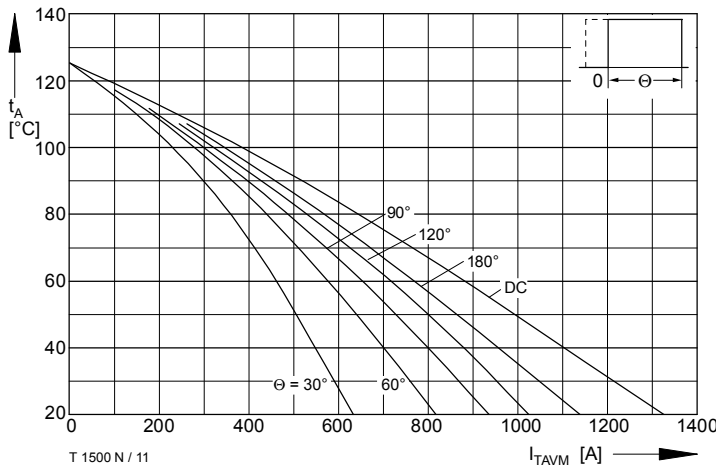


Bild / Fig. 11

Höchstzulässige Kühlmitteltemperatur / Max. allowable cooling medium temperature $t_A = f(I_{TAVM})$
Verstärkte Luftkühlung / forced air cooling
Kühlkörper / Heatsink: K0.05F, $V_L = 120$ l/s
Parameter: Stromflußwinkel / Current conduction angle θ

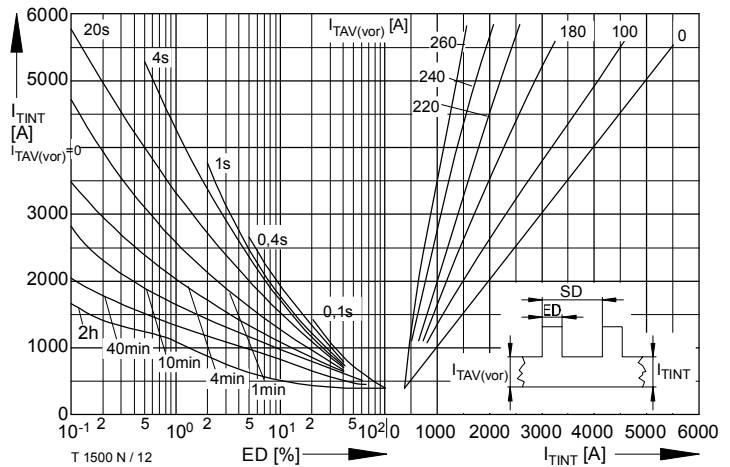


Bild / Fig. 12

Höchstzulässiger Durchlaßstrom bei Aussetzbetrieb / Max. allowable on-state current at intermittent operation $I_{TINT} = f(ED)$
Luftselbstkühlung / Natural air-cooling, $t_A = 45^\circ\text{C}$
Kühlkörper / Heatsink: K0.05F
Parameter: Spielzeit / Cycle duration SD
Vorlaststrom / Pre-load current $I_{TAV(vor)}$

T 1509 N

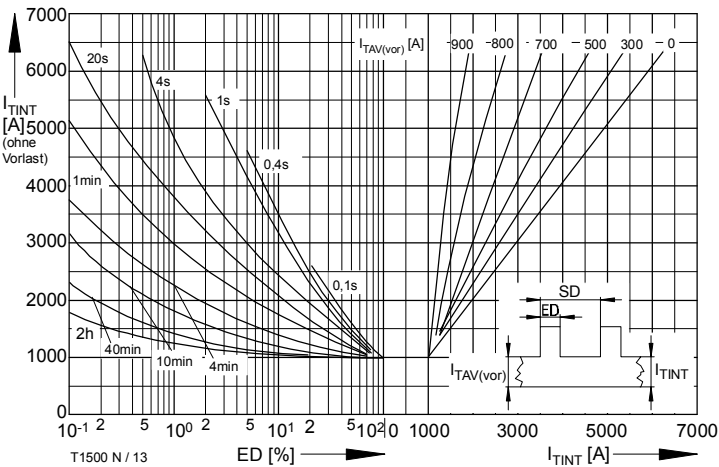


Bild / Fig. 13
Höchstzulässiger Durchlaßstrom bei Aussetzbetrieb / Max. allowable on-state current at intermittent operation $I_{TINT} = f(ED)$
Verstärkte Luftkühlung / Forced air-cooling, $t_A = 35^\circ\text{C}$, $V_L = 120 \text{ l/s}$
Kühlkörper / Heatsink: K0.05F
Parameter: Spieldauer / Cycle duration SD
Vorlaststrom / Pre-load current $I_{TAV(vor)}$

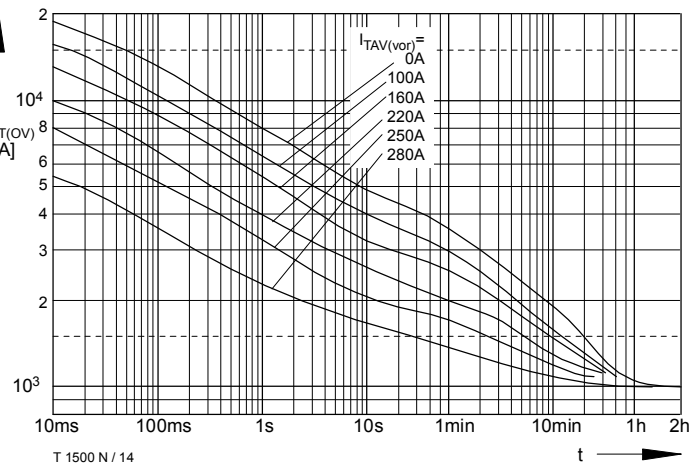


Bild / Fig. 14
Überstrom / Overload on-state current $I_{T(OV)} = f(t)$
Luftselbstkühlung / Natural air-cooling, $t_A = 45^\circ\text{C}$
Kühlkörper / Heatsink: K0.05F
Parameter: Vorlaststrom / Pre-load current $I_{TAV(vor)}$

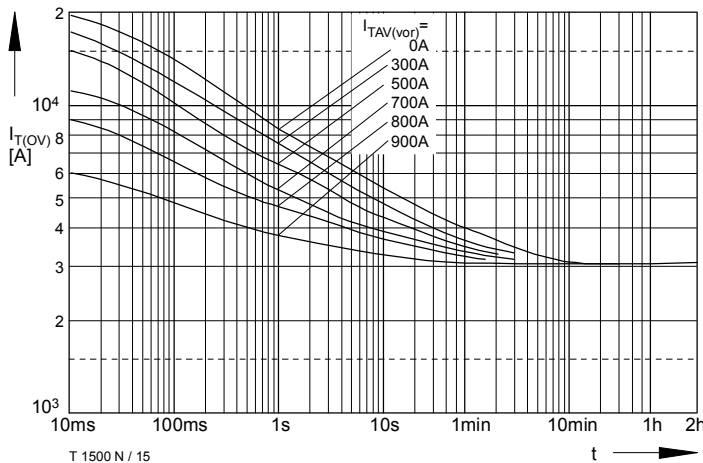


Bild / Fig. 15
Überstrom / Overload on-state current $I_{T(OV)} = f(t)$
Verstärkte Luftkühlung / Forced air-cooling, $t_A = 35^\circ\text{C}$
Kühlkörper / Heatsink: K0.05F, $V_L = 120 \text{ l/s}$
Parameter: Vorlaststrom / Pre-load current $I_{TAV(vor)}$

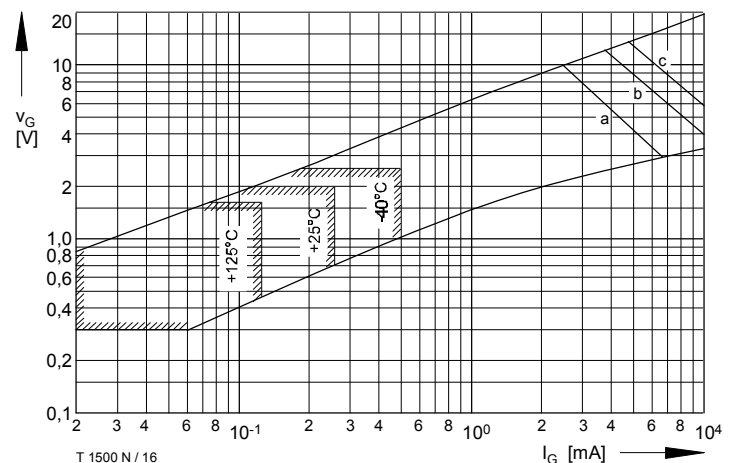


Bild / Fig. 16
Steuercharakteristik mit Zündbereichen / Gate characteristic with triggering areas $v_G = f(i_G)$, $V_D = 6 \text{ V}$
Parameter:
a b c
Steuerimpulsdauer / trigger pulse duration t_g [ms] 10 1 0,5
Höchstzulässige Spitzensteuerverlustleistung /
Max. rated peak gate power dissipation [W] 20 40 60

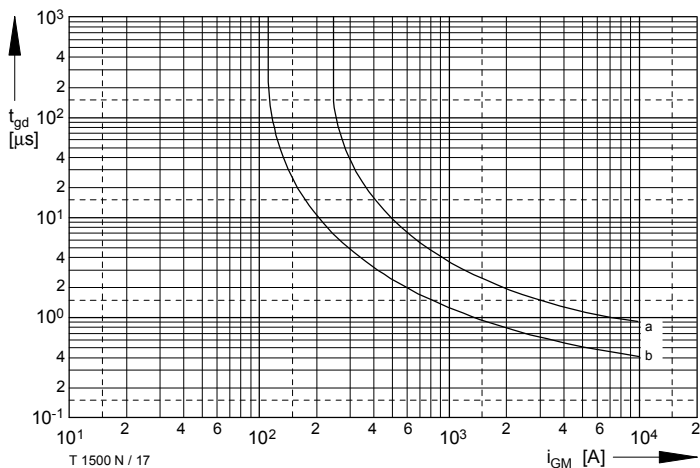


Bild / Fig. 17
Zündverzug / Gate controlled delay time $t_{gd} = f(i_{GM})$
 $t_{vj} = 25^\circ\text{C}$, $di_G/dt = i_{GM}/1\mu\text{s}$
a - Maximaler Verlauf / Limiting characteristic
b - Typischer Verlauf / Typical characteristic

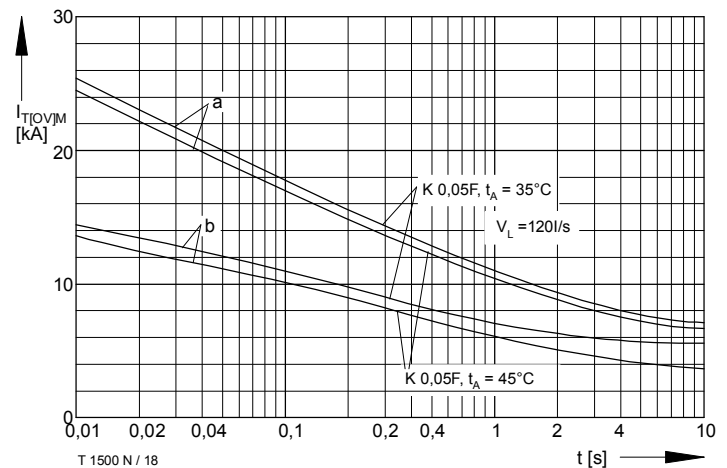


Bild / Fig. 18
Grenzstrom / Max. overload on-state current $I_{T(OV)M} = f(t)$, $v_{RM} = 0,8 \text{ V}_{RRM}$
Beidseitige Kühlung / Two-sided cooling
Kühlkörper / Heatsink: K0.05F
Belastung aus / Surge current occurs:
a - Leerlauf / No-load conditions
b - Betrieb mit Dauergrenzstrom / During operation at max. average on-state current I_{TAVM}

T 1509 N

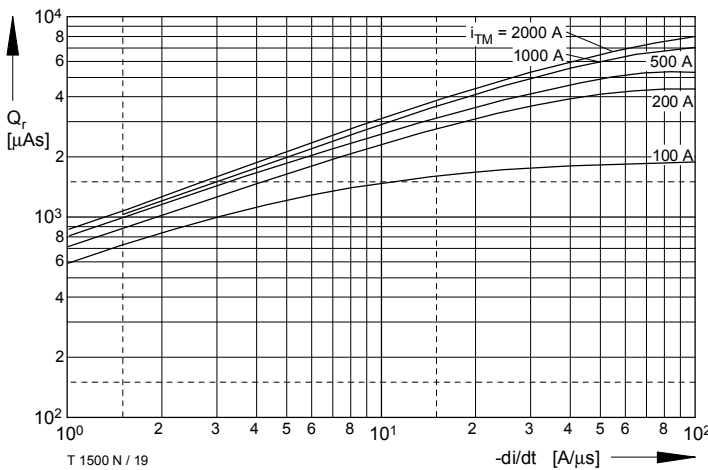


Bild / Fig. 19
Sperrverzögerungsladung / Recovered charge $Q_r = f(-di/dt)$
 $t_{vj} = t_{max}$, $V_R = 0,5 V_{RRM}$, $V_{RM} = 0,8 V_{RRM}$
Parameter: Durchlaßstrom / On-state current i_{TM}

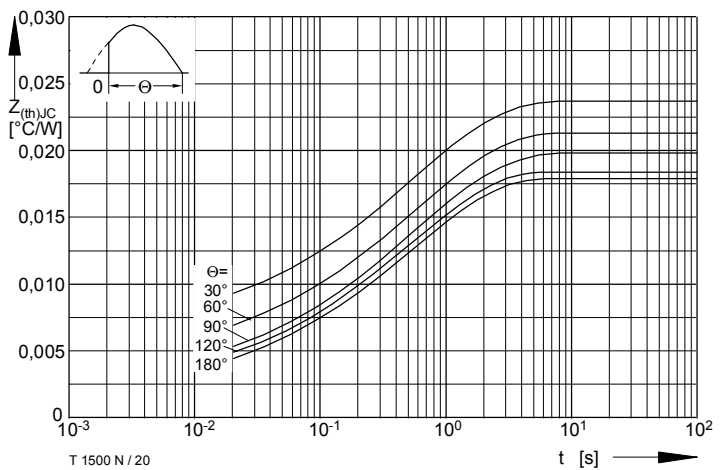


Bild / Fig. 20
Transienter innerer Wärmewiderstand / Transient thermal impedance
 $Z_{thJC} = f(t)$
Beidseitige Kühlung / Two-sided cooling
Parameter: Stromflußwinkel / current conduction angle θ

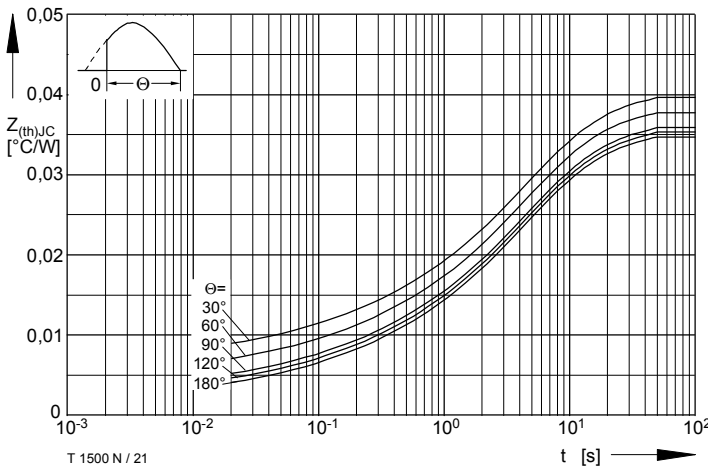


Bild / Fig. 21
Transienter innerer Wärmewiderstand / Transient thermal impedance
 $Z_{thJC} = f(t)$
Anodenseitige Kühlung / Anode-sided cooling
Parameter: Stromflußwinkel / current conduction angle θ

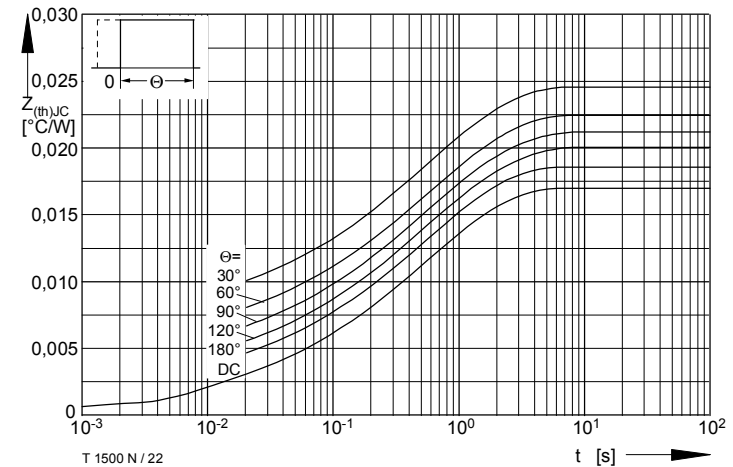


Bild / Fig. 22
Transienter innerer Wärmewiderstand / Transient thermal impedance
 $Z_{thJC} = f(t)$
Beidseitige Kühlung / Two-sided cooling
Parameter: Stromflußwinkel / current conduction angle θ

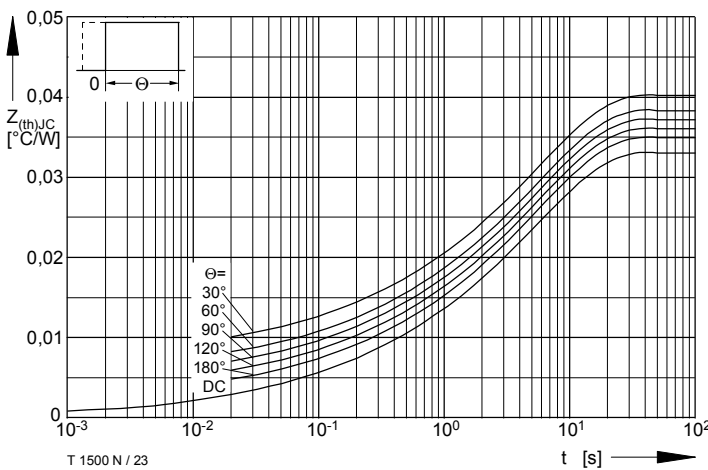


Bild / Fig. 23
Transienter innerer Wärmewiderstand / Transient thermal impedance
 $Z_{thJC} = f(t)$
Anodenseitige Kühlung / Anode-sided cooling
Parameter: Stromflußwinkel / current conduction angle θ

Analytische Elemente des transienten Wärmewiderstandes Z_{thJC} pro Zweig für DC
Analytical elements of transient thermal impedance Z_{thJC} per arm for DC

Beidseitig / Two-sided

Pos. n	1	2	3	4	5	6
$R_{thn} [\text{°C/W}]$	0,00022	0,0011	0,00102	0,00283	0,00608	0,00575
$\tau_n [\text{s}]$	0,00136	0,00306	0,0139	0,0662	0,512	1,49

Anodenseitig / Anode-sided

Pos. n	1	2	3	4	5	6
$R_{thn} [\text{°C/W}]$	0,00065	0,0019	0,00239	0,00381	0,00425	0,02
$\tau_n [\text{s}]$	0,0016	0,0091	0,0791	0,26	1,736	7,21

Kathodenseitig / Cathode-sided

Pos. n	1	2	3	4	5	6
$R_{thn} [\text{°C/W}]$	0,00055	0,00206	0,00604	0,00551	0,02084	
$\tau_n [\text{s}]$	0,0014	0,00857	0,154	2,58	7,007	

Analytische Funktion / Analytical function:

$$Z_{thJC} = \sum_{n=1}^{n_{\max}} R_{thn} (1 - e^{-\frac{t}{\tau_n}})$$